

在大肠杆菌中提高人 α 1b 型基因工程干扰素的表达

薛水星 吴淑华 韩 峰 魏 佳 侯云德

(中国预防医学科学院病毒学研究所病毒基因工程国家重点实验室 北京 100052)

摘要 将人 α 1b 型干扰素(IFN- α 1b)基因插入带有原核增强子样序列的新型载体 pBV322,使干扰素在大肠杆菌中的表达水平明显高于原表达载体,达到 1.6×10^8 u/L 培养液。重组质粒的特点是:含增强子序列 X, trp 启动子控制。利用 DEAE-Sephadex、CM-Sephadex 离子交换层析及单克隆抗体亲和层析纯化 IFN- α 1b,获得了电泳纯产品,其比活性为 2×10^7 u/mg,分子量为 19kDa。此外,用 pAT153 代替 pBV322,构建了带有和不带有 X 序列的两种表达载体,平行对比表明增强子 X 序列可以将 IFN- α 1b 表达提高 4 倍。

关键词 人 α 1b 型干扰素,原核增强子样序列,蛋白质纯化

干扰素是一类由细胞分泌的具有抗病毒、抗肿瘤和免疫调节等多种生物学活性的蛋白质。自从 1980 年 Nagata 首次克隆 IFN- α 基因无性繁殖系^[1]至今,已有 20 多种 IFN- α 亚型相继得到了克隆表达。我国于 1982 年首次利用新城疫病毒刺激脐血白细胞,成功地克隆了 IFN- α 1 cDNA 无性繁殖系,并在大肠杆菌中得到了高效表达^[2],1989 年人 α 1 型基因工程干扰素已获准投放市场,得到了广泛应用。但是目前所用的生产菌株表达 IFN- α 1b 的水平还不够高,而且因为使用了 Amp^r 作标记基因,容易因氨基青霉素污染制剂给人体带来不良影响。

1981 年 Gruss 及 Benoist 等在 SV40 中发现了增强子^[3,4],以后增强子的研究工作不断深入。1985 年吴淑华、侯云德等人发现 SV40 DNA 的 HindⅢ 片段能增强大肠杆菌中基因的表达^[5,6],潘卫及刘哲伟等人又先后在大肠杆菌 JM103 和人乳头瘤病毒(HPV6b)中发现有原核增强子样序列的存在^[7,8]。这些研究为增强子应用于原核系统增强外源基因的表达奠定了基础。

本文利用带有原核增强子样序列的质粒,通过抗性标记基因的转换,构建了表达 IFN- α 1b 的新型表达载体,新组建的载体表达 IFN 的水平明显高于原表达载体,并使用了 Ter^r 作标记基因,从而为 IFN- α 1b 的生产提供了更安全更高效的生产菌株。

1 材料与方法

1.1 质粒与菌种

质粒 pBV320 为带有原核增强子样序列 X 和 trp 启动子的新型表达载体。质粒 pBV220/ α 1b 由人 α 1b 型干扰素基因(IFN- α 1b)克隆于 pBV220 质粒所构成^[2,9]。以上质

国家 863 高科技生物技术领域资助项目。

本文于 1995 年 7 月 31 日收到。

粒以及 pAT153 和 M13SK 质粒均由本室提供。大肠杆菌 JM103 购自美国 BRL 公司。

1.2 试剂

限制酶、T4DNA 连接酶和大肠杆菌 DNA 聚合酶 I Klenow 片段购自美国 BRL 公司、BioLabs 公司和德国 Boehringer Mannheim 公司, 阴、阳离子交换基质 DEAE-Sepharose 和 CM-Sepharose 购自瑞典 Pharmacia 公司, 抗人 IFN- α 1 的单克隆抗体亲和层析基质 (McAb-Sepharose) 由长春生物制品研究所惠赠。

1.3 质粒的重组、转化及重组子的筛选鉴定

参阅文献[10]。

1.4 重组 IFN- α 1b 的表达和提取

将重组质粒转化大肠杆菌 JM103, 经 37℃ 过夜活化后, 次日按 1:100 比例稀释于含 Amp^r 或 Tet^r 的 LB 培养液中, 在试管中振摇培养 8~10h, 5000r/min 离心 5min, 收集菌体, 每毫升菌液加入 0.4ml 含 30mmol/L NaCl、50mmol/L Tris (pH8.0) 的溶液和 44μl 10mg/ml 新鲜配制的溶菌酶, 4℃ 下作用 30min, 反复冻融 3 次, 12000r/min 离心 5min, 上清即为 IFN 提取液。

1.5 干扰素抗病毒活性的测定

采用细胞病变抑制法, 在人羊膜传代细胞(WISH)——水泡性口炎病毒(VSV)系统上测定 IFN 活性, 详见文献[11]。

1.6 SDS-聚丙烯酰胺凝胶电泳

参阅文献[10]。

1.7 蛋白质含量测定

采用 Lowry's 法定量。

2 结果

2.1 pBV321 和 pBV322 载体的构建

pBV320 表达载体的特点是在 trp 启动子上游 300 bp 处有大肠杆菌增强子序列 X, trp 启动子下游有 XbaI、SalI、PstI 酶切点, 为增加多酶切点, 本文将 M13SK 质粒上 XbaI 至 SalI 中间含 10 个多酶切点的约 50bpDNA 片段插入 pBV320 的 XbaI 和 SalI 位点, 得到 pBV321 质粒(图 1), 将 pBV321 质粒 trp 启动子上游 290bp 处的 EcoRI 位点缺失, 得到 pBV322 质粒。

2.2 人 α 1b 型干扰素高效表达载体

pBVX/ α 1b 的组建

人 α 1b 型干扰素 cDNA 两端为 EcoRI 位点, 全长 565bp。组建时, 先将 pBV322 用 XbaI 和 EcoRI 切开, Klenow 酶补平; 同时 pBV220/ α 1b 上的干扰素片段用 EcoRI 切开, 也用 Klenow 酶补平, 两者连接组建

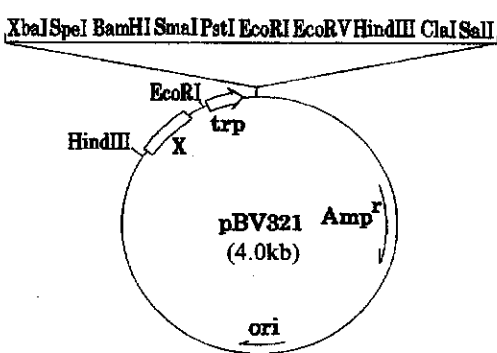


图 1 表达载体 pBV321 的质粒图

Fig. 1 Map of plasmid pBV321

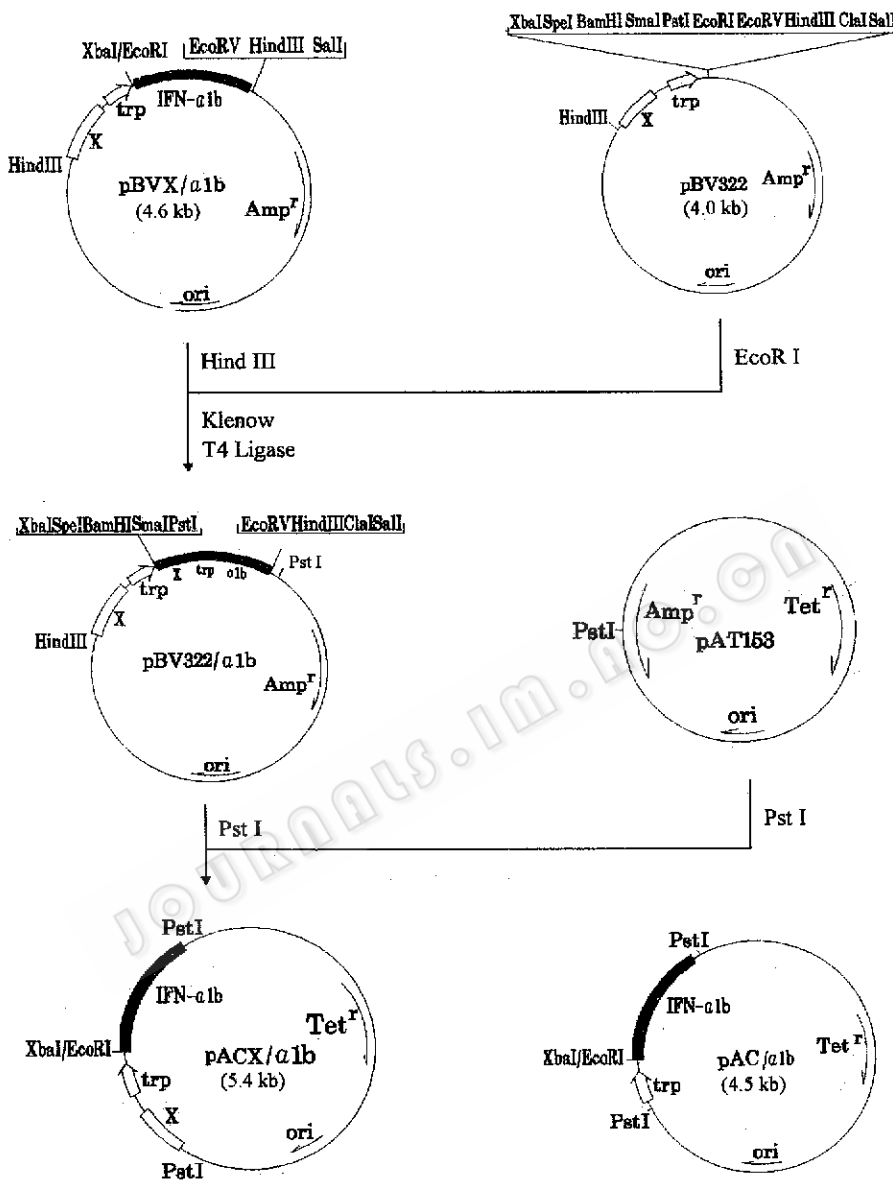


图 2 质粒 pACX/α1b 的构建和 pAC/α1b 的质粒图谱

Fig. 2 Construction of plasmid pACX/α1b and map of plasmid pAC/α1b

成 pBVX/α1b 质粒, 经酶切鉴定无误, 转化 JM103。

2.3 四环素抗性的 IFN- α 1b 高效表达载体的构建

pBVX/α1b 用 Hind III 酶切得到 1.8kb 含增强子序列 X、trp 启动子、α1b 基因的片段, 用 Klenow 酶补平, 载体 pBV322 用 EcoRI 酶切, Klenow 补平, 两者相连, 得到中间质粒 pBV322/α1b, 然后用 Pst I 酶切, 得到含增强子序列 X、trp 启动子、α1b 基因的片段, 将该片段插入 pAT153 Pst I 位点, 从而使 pAT153 氨苄青霉素抗性失活, 得到四环素抗性的

pACX/ α 1b 质粒(图 2)。为进一步研究增强子序列 X 对 IFN- α 1b 的作用,本文又构建了 pACX/ α 1b 的对照质粒 pAC/ α 1b, 它与 pACX/ α 1b 的区别在于去除了增强子序列 X(图 2)。

2.4 抗病毒活性的检测

将上述重组质粒转化大肠杆菌 JM103, 用含有抗性的 LB 培养液振摇培养, 菌体以溶菌酶作用, 得到 IFN 提取液, 测定抗病毒活性, 结果表明: 重组质粒 pBVX/ α 1b 表达 IFN 水平比原来温控型高效表达质粒 pBV220/ α 1b 高 4 倍, pACX/ α 1b 比 pAC/ α 1b 表达量高 4 倍, 表明 X 序列对 trp 启动子控制下 IFN- α 1b 的表达有增强作用, 结果详见表 1。

表 1 不同 IFN- α 1b 质粒载体在大肠杆菌中表达水平的比较

Table 1 Comparison of IFN expression level in *E. coli* by different plasmid vectors

Plasmid	Vector	Promotor	Enhancer(X)	Resistance	Incubation condition	IFN activity $(\mu \cdot L^{-1} \cdot 10^6)$
pBV220/ α 1b	pBV220	P _R P _L	without X	Amp ^r	30℃ 3h 42℃ 5h	41.0 ± 7.2
pBVX/ α 1b	pBV322	trp	with X	Amp ^r	37℃ 8h	168.4 ± 28.3
pACX/ α 1b	pAT153	trp	with X	Tet ^r	37℃ 8h	164.4 ± 21.7
pAC/ α 1b	pAT153	trp	without X	Tet ^r	37℃ 8h	41.4 ± 8.6

* n = 6, host is JM103 with LB culture.

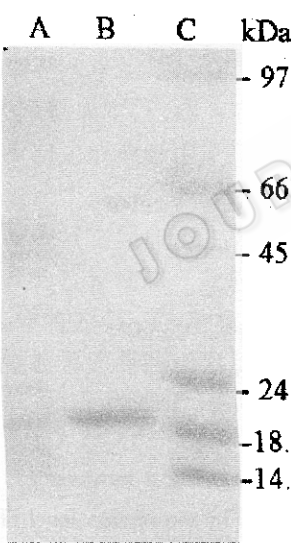


图 3 大肠杆菌表达的重组 IFN- α 1b 的 SDS-PAGE 图谱

Fig. 3 SDS-PAGE analysis of recombinant IFN- α 1b expressed in *E. coli*. SDS-PAGE 显示一条带, 为人 IFN- α 1b 的电泳纯产品, 分子量约为 19kDa(图 3)。

A: Guanidiniumchlorid-treated crude product of IFN-containing *E. coli* cell

B: Purified IFN- α 1b after affinity chromatography

C: Molecular weight standard

2.5 重组人 IFN- α 1b 的纯化和鉴定

将重组质粒 pBVX/ α 1b 转化大肠杆菌 JM103, 37℃ 培养后, 收获菌体, 以 1:5(重量:体积)加入 7mol/L 盐酸胍裂解, 再加入 5 倍体积 0.1mol/L Tris (pH8) 溶液稀释并对此溶液透析过夜, 离心去沉淀, 上清加入 80% 饱和度的硫酸铵, 沉淀的蛋白用去离子水溶解。溶液对 25mmol/L Tris (pH7.5) 透析后, 通过 DEAE-Sepharose 离子交换柱, 分别用 0.1、0.3、0.6 和 1mol/L 的 NaCl 洗脱, 收集 0.3mol/L NaCl 活性峰, 过 CM-Sepharose 离心交换柱, 以 0.1、0.2、0.5 和 1mol/L 乙酸钠(pH5)洗脱, 收集 0.2mol/L 的活性峰。再经 PBS 平衡后, 进行抗 IFN- α 1 的 McAb-Sepharose 亲和层析, 收集 0.1mol/L Gly/HCl(pH2.5)洗脱峰。所得到的 IFN 比活性达到 $2 \times 10^7 \text{ u/mg}$ 蛋白, SDS-PAGE 显示一条

3 讨 论

外源基因在大肠杆菌中要获得高效表达,

SD 序列与翻译起始信号 ATG 保持适当的距离至关重要。重组质粒 pBVX/α1b 中 SD 序列与 ATG 之间相隔 12 个核苷酸, 根据 Whitehorn 等人报道^[12], 距离在 8~12bp 之间为最适范围, 因此这一距离不会影响 IFN 基因的表达。平行对比 pAC/α1b 与 pACX/α1b 的抗病毒活性实验表明: 原核增强子样序列 X 能够增强 trp 启动子下游人 IFN-α1b 基因的表达, 表达水平提高了 4 倍, 这一结果为进一步阐明原核增强子的结构和功能奠定了基础。

参考文献

- [1] Nagata S, Mantei N, Weissmann C: Nature, 1980, **287**: 401~408.
- [2] 侯云德, 张志清, 杨新科等: 中国医学科学院学报, 1982, **4**(6): 327~335.
- [3] Gruss P, Dhar R, Khoury G: Proc Natl Acad Sci USA, 1981, **78**(2): 943~947
- [4] Benoit C, Champon P: Nature, 1981, **290**: 304~310.
- [5] 吴淑华, 张丽兰, 张秀珍等: 病毒学报, 1985, **1**: 385~388.
- [6] 侯云德, 崔 宏, 段淑敏: 病毒学报, 1985, **1**: 278~280.
- [7] 潘 卫, 吴淑华, 金 奇等: 生物工程学报, 1990, **6**: 265~271.
- [8] 刘哲伟, 吴淑华, 金 奇等: 病毒学报, 1992, **8**: 195~199.
- [9] 张智清, 侯云德, 李玉英等: 病毒学报, 1988, **4**: 97~101.
- [10] Sambrook J, Fritsch E F, Maniatis T: Molecular Cloning: A Laboratory Manual, (Second Edition), Cold Spring Harbor Laboratory Press, New York, 1989.
- [11] 侯云德: 病毒基因工程的原理与方法, 北京: 人民卫生出版社(第一版), 1985, pp245~247.
- [12] Whitehorn E A, Livak K J, Petteway L: Gene, 1985, **36**: 375~379.

Expression of Human IFN-α1b by Using a New Vector Containing a Prokaryotic Enhancer Sequence

Xue Shuixing Wu Shuhua Han Feng Wei Jia Hou Yunde

(National Laboratory of Molecular Virology and Genetic Engineering,

Institute of Virology, Chinese Academy of Preventive Medicine, Beijing 100052)

Abstract Human native IFN-α1b was highly expressed in *E. coli* by using a new vector, which contains a prokaryotic enhancer sequence X upstream to trp promotor. The expression level of IFN-α1b reached 1.6×10^8 units per liter culture, 4 times higher as compared with the original expression plasmid. *E. coli* produced IFN-α1b was purified by DEAE-Sephadex, CM-Sephadex and McAb affinity chromatography to homogeneity in SDS-PAGE with a specific activity of 2×10^7 u/mg and molecular weight of 19 kDa.

Key words Human interferon-α1b, prokaryotic enhancer sequence, protein purification